

金沢工業大学 正会員 川村國夫

1. まえがき: 掘削工事に伴う周辺地盤の地下水測定は、いまだ不明な点が多い。このため、施工中の観測結果と施工前・現場特性の推定値とを比較・検討しながら、施工を進めていくのが現状である。周辺地盤の地下水は、いろいろな要因により影響を受けるため、その定量的な解析を困難なものとしている。本報告は、事前に掘削周辺地盤の地下水特性を予測することを主眼とし、実際の掘削現場の安全性を貢献しようとするものである。

2. 地下水測定法: 軟弱地盤での掘削工事に実施する場合には、種々の原因、例えば、掘削に伴う山留の壁の変形による背面土の移動、地下水位低下による圧密沈下、ヒービングによる地下水位上昇等、大小問わず地盤の地下水が生ずる二点から、近隣構造物、施設へ悪影響を与える。たゞ、地下水位は現場により千差万別であり、また、地下水測定とともにこれは難問題である。そこで、本報告では、現場特性を考慮した円弧すべり面法による安全率と地下水量、地下水頭と関連づけ、掘削工事施工開始前の段階で地下水特性を予測しようとしたものである。すなわち、掘削現場の安全性を次式による安全率 F_s で定義する。

$$F_s = \frac{\text{抵抗モーメント } M_r}{\text{滑動モーメント } M_s} = \frac{\sum W_i l'_{wi} + \sum P_i l'_{pi} + Q l_g + \tau \cdot L \cdot R}{\sum W_i \cdot l_{wi}} \quad \dots \quad (1)$$

ここで、図1を参照しながら、 W_i : 滑動モーメントとする土塊の重量、 l_{wi} : 円弧の中心Oと W_i の距離、 W'_i : 掘削しあるとある土塊の重量、 l'_{wi} : 中心Oと W'_i の距離、P: 切迫り軸力 ($= \sigma_a \cdot A$, σ_a : 許容圧縮応力, A: 断面積), l'_{pi} : 中心OとPの距離、Q: 山留の壁とせん断抵抗力 ($= \sigma_s \cdot T$, σ_s : 許容せん断応力, T: 山留の壁厚), l_g : 中心Oと円弧の山留の壁との差ある距離、 τ : 地盤のせん断抵抗率、L: すべり面の全長、R: 円弧の半径

3. 最小安全率と最大地下水量の関係: 各掘削現場 (N.O.1 ~ N.O.8) の地下水測定データをもとに、掘削周辺地盤の最大地下水量 S_{max} とその現場における最小安全率 F_s の計算結果との関係をプロットしたもののが図3である。 $S_{max} \sim F_s$ の興味深い傾向のあることがわかる。すなわち、掘削現場において $F_s \leq 1.15$ の減少すると S_{max} は急激に増加していくことである。このことは、掘削背面の土の重量が掘削底面の地盤支持力に対して過大となり、背面の土が内側へ廻り込むよう流動化を起し、その結果、地表面が大きくなることである。つまり、安全率が減少すれば、それが掘削現場が不安定な状態となり、周辺地盤の地下水量が大きくなる。一方、 $F_s \geq 1.20$ になると S_{max} は $10^{-3} m^3$ 前後となり、掘削現場周辺への影響は極めて小さくなる。また、同一現場においても (例えば、N.O.8), 掘削が進行するにつれて、 F_s は減少し、周辺地盤の S_{max} は大きくなる。以上の結果より、現場条件さえ設定されれば、その安全率を算定でき、この安全率に基づいて事前に地下水量の最大値が推定できるといふ。

4. 脇界田と地下水影響範囲の関係: 図3は根切り端から掘削現場の最小安全率 F_s を決定する円弧を定め、脇界田と地表面との交差する位置までの距離Bと地下水影響範囲Dをもとに最終掘削深Hを除し、無次元化して関係をプロットしたものである。模型回帰分析結果は $D/H = -1.04(B/H) + 4.65 \dots \quad (2)$ となり、脇界田と求められた掘削現場周辺の地下水影響範囲を察知することができる。式(2)によると、根切り端より脇界田の位置に遠ざかるほど掘削深Hに対する地下水影響範囲Dは相対的に小さくなる、といふ。すなわち、掘削現場の安定計算は円弧と地表面、山留の壁および根切り面とて囲まれた土塊全体が滑るもないと仮定しているから、脇界田の位置が根切り端より遠くへあれば地下水影響範囲の絶対値は大きくなる、といふもの。掘削深Hに対する比D/Hは小さくなる、といふのがある。地下水影響範囲といふものは、掘削深を主な要因として山留の壁の剛性、掘削地盤条件、あるいは施工方法にも起因するところから、これらの要因を同時に考慮した結果が図3である。ところが、図4より、例えば、 B/H が 1.52 あれば、地下水影響範囲DはHに対して約3倍、Bに対して約2倍程度の大さとなる。

5. 最小安全率と地下水影響範囲の関係: もう一つの地下水影響範囲の推定方法として図4を提案する。図4は、最小

安全率下と地下水影響範囲を根切り端からの角度で表わしたものとその関係を図1に示すものである。この図より、最小安全率が増加するに従うて地下水影響範囲は減少する傾向にある。したがって、図2の最小安全率と最大地下水量の関係とでは逆であると次の二点が言える。最小安全率が増加(減少)するに従うて、最大地下水量が地下水影響範囲とともに減少(増加)する。ところが、周辺地盤の最大地下水量と地下水影響範囲の関係については、当然のことながら最大地下水量が増加するに従うて、地下水影響範囲は大きくなることである。以上より、地盤特性、山留め壁の剛性の相違が最小安全率を大きく左右する要因のうちの代表格があり、しかも地下水影響範囲が大きくなるほど同時に水位も上昇する。他ならない。

6. 最小安全率と最大地下水量発生位置の関係
最大地下水量発生位置の推定は地下水は状況各種の場所における差不釣合があり、予測ともなると困難である。しかし、定性的には、最大地下水量には地下水影響範囲が増加すれば、最大地下水量発生位置は根切り背面直後より次第に遠ざかる傾向があり、最終的には根切り端より掘削深の約1/4前後の位置に到達と言ふことである。しかし、これは他の条件、例えは、山留め壁の剛性、根切り長、地盤条件による影響を考慮に入れない限りの一般的には断言できず、よく子供も一般的傾向と考へらるるものである。専論ながら、今回収集して解析データを解析した結果、最小安全率と最大地下水量発生位置の関係を明確に見い出せることはできた。しかし、 $S_{max} \sim F_s$, $\theta \sim F_s$ などに強い相関が存在しないことなどにより、今後より多くのデータを解析していく課題も解決可能と思われる。

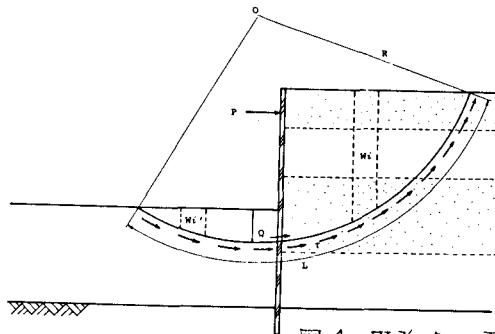


図1 円弧すべり面

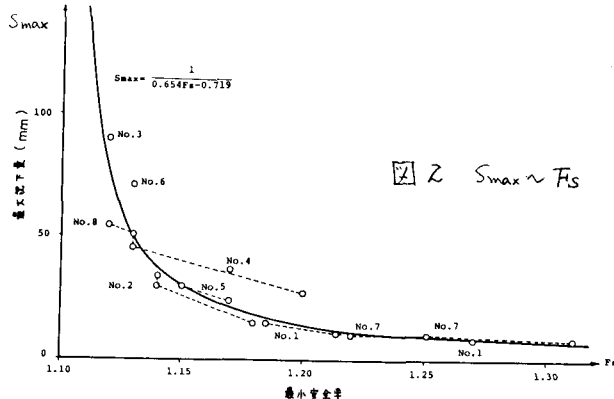


図2 $S_{max} \sim F_s$

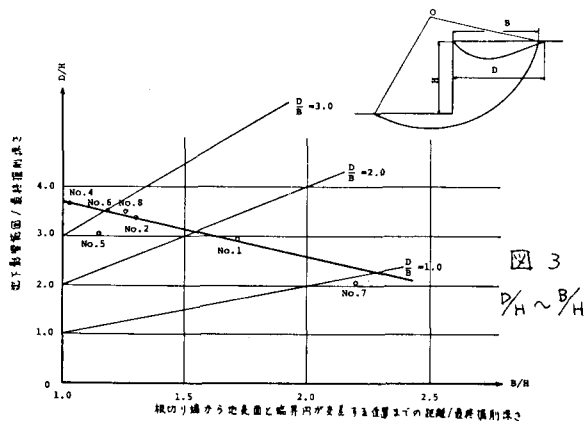


図3 $D/H \sim B/H$

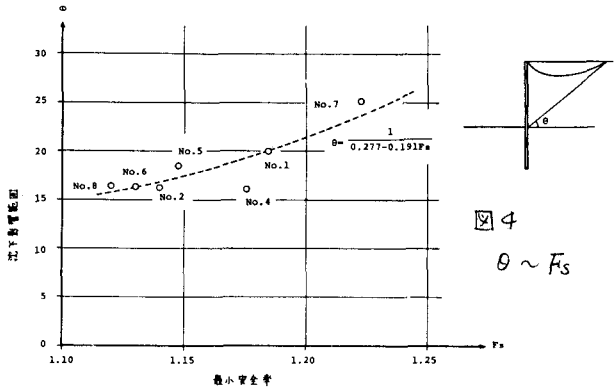


図4 $\theta \sim F_s$